

図5 (24) Themis 2021年4月9日 18h03m21s UT VLT/SPHERE Model ($\alpha = 145.9511$ 、 $\delta = +73.2155$)
 $P = 340.9$ 、 $e = +14.8^\circ$ 、 $i = -74.0^\circ$ 、Scale Factor 1: 1.0、 $k = 0.978$ 、 $B = 80.1^\circ$

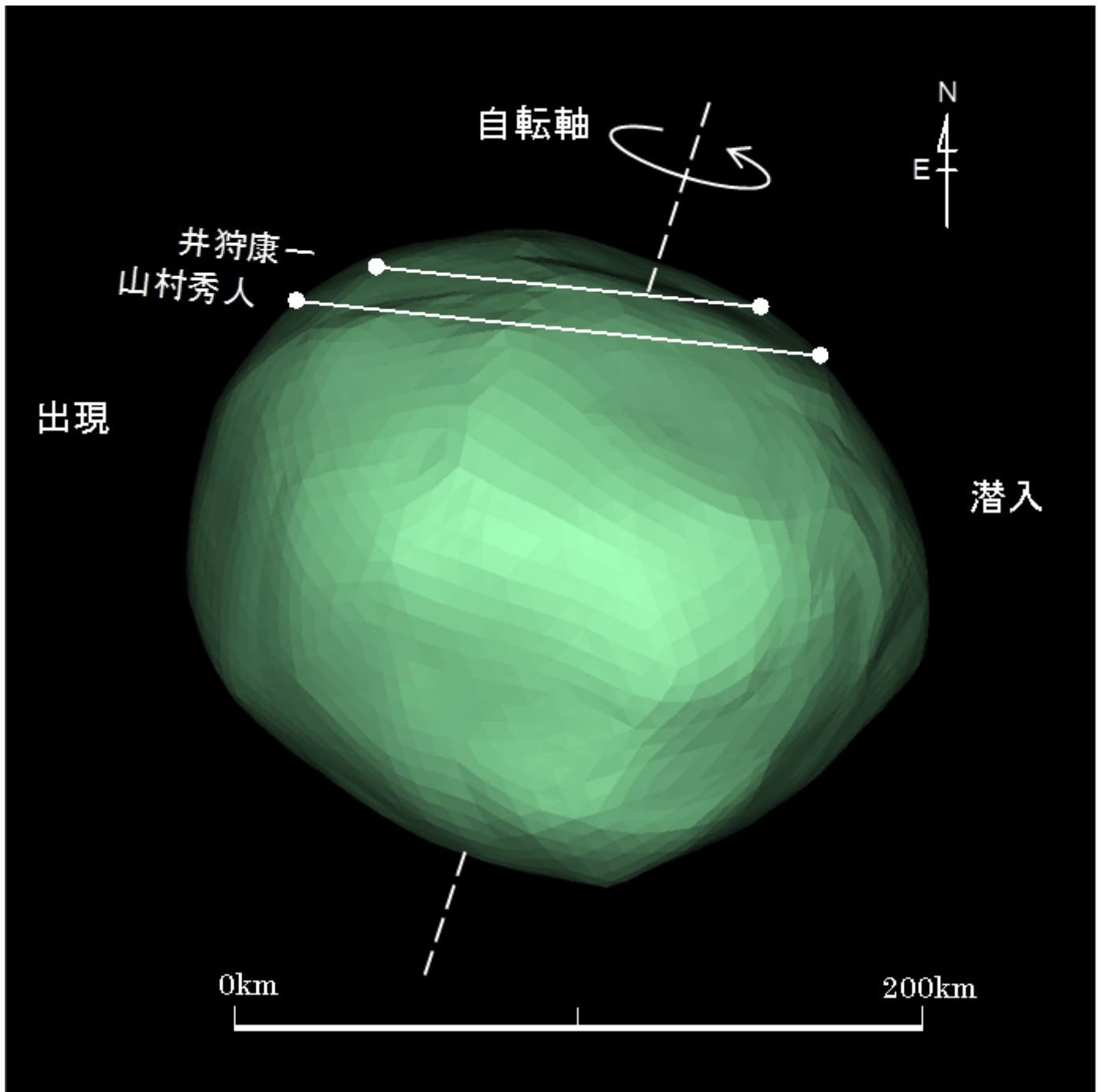


図6 (24) Themis 2021年8月1日 14h53m50s UT VLT/SPHERE Model ($\alpha = 145.9511$ 、 $\delta = +73.2155$)
 $P = 342.0^\circ$ 、 $i = +13.9^\circ$ 、 $q = +53.4^\circ$ 、Scale Factor 1: 1、 $k = 0.997$ 、 $B = 260.5^\circ$

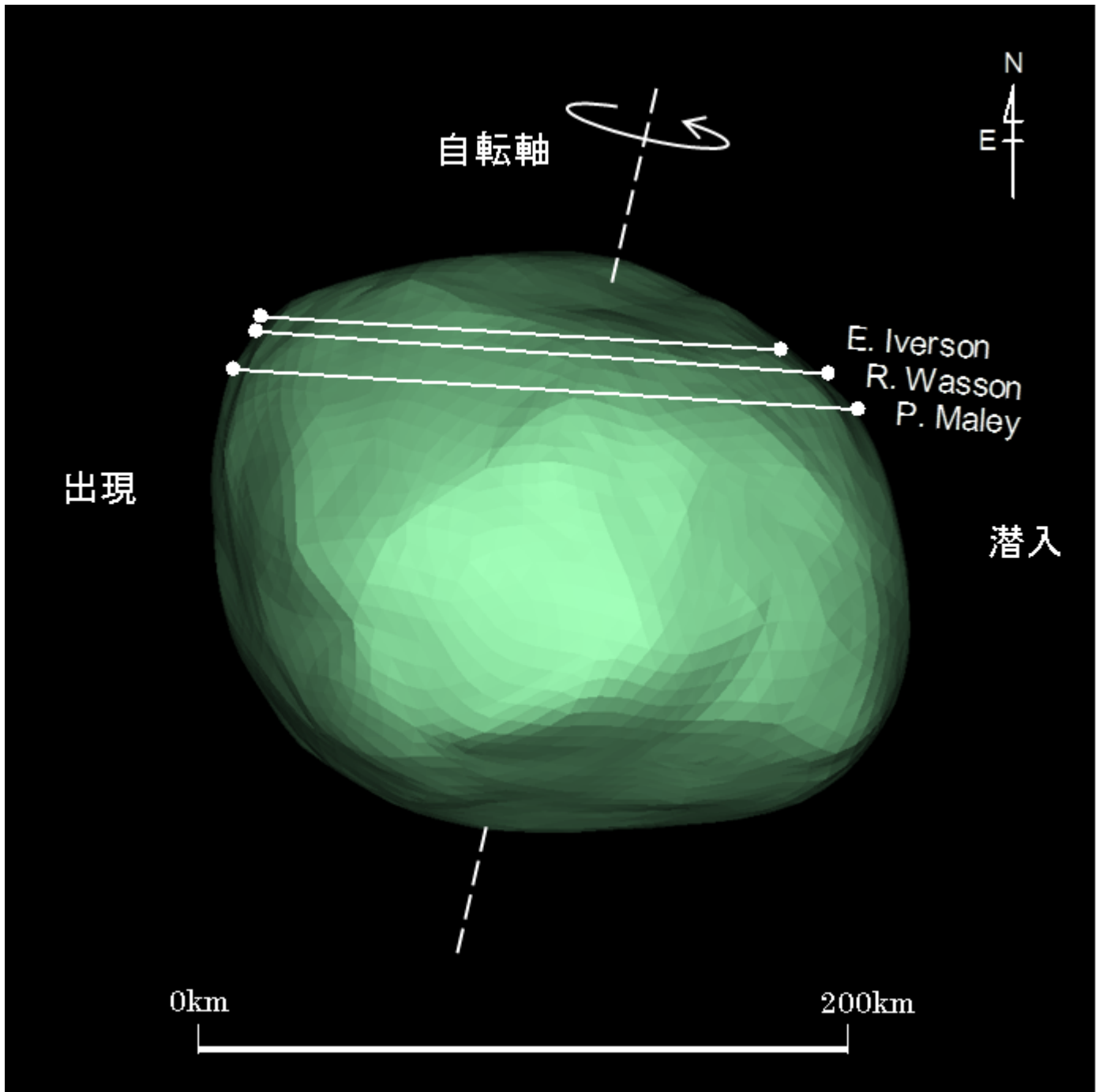


図7 (24) Themis 2015年4月30日 8h18m03s UT VLT/SPHERE Model ($\alpha = 145.9511$ 、 $\delta = +73.2155$)
 $P = 346.8$ 、 $e = +9.1^\circ$ 、 $i = -93.4^\circ$ 、Scale Factor 1:1.0、 $k = 0.987$ 、 $B = 91.9^\circ$

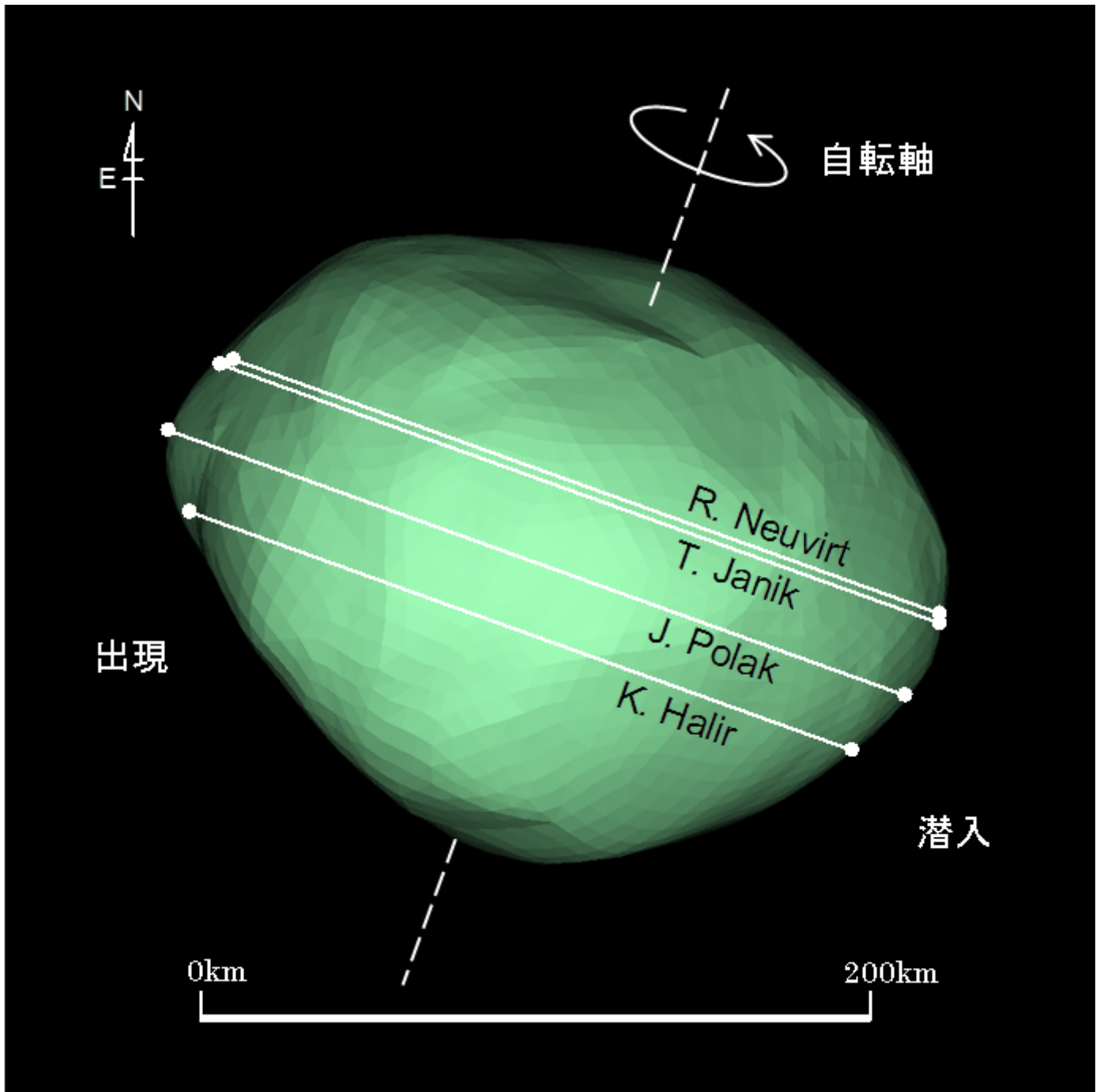


図6 (24) Themis 2016年7月31日 2h12m56s UT VLT/SPHERE Model ($\lambda = 145.9511$ 、 $\beta = +73.2155$)
 $P = 340.2$ 、 $i = +17.8^\circ$ 、 $q = +161.2^\circ$ 、Scale Factor 1: 1.0、 $k = 0.998$ 、 $B = 73.1^\circ$